

УДК 541.16

ЭЛЕКТРОННАЯ СТРУКТУРА И МАГНИТНЫЕ СВОЙСТВА ДВОЙНЫХ
ПЕРОВСКИТОВ Sr_2FeMO_6 ($M = Sc, Ti, \dots, Ni, Cu$) ПО РЕЗУЛЬТАТАМ
ЗОННЫХ РАСЧЕТОВ FLAPW-GGA

© 2008 В.В. Банников, И.Р. Шеин, В.Л. Кожевников, А.Л. Ивановский*

Институт химии твердого тела УрО РАН, Екатеринбург

Статья поступила 12 февраля 2008 г.

С использованием *ab initio* зонного метода FLAPW-GGA исследованы закономерности изменения электронной структуры и магнитных характеристик двойных перовскитов Sr_2FeMO_6 в зависимости от типа катиона $M = Sc, Ti, \dots, Ni, Cu$.

Ключевые слова: двойные перовскиты Sr_2FeMO_6 , зонная структура, магнетизм, моделирование.

ВВЕДЕНИЕ

Феррит стронция $SrFeO_3$ привлекает значительный интерес как базисная фаза при разработке новых материалов различного назначения. Среди них — керамики со смешанным ионно-электронным типом проводимости, перспективные катодные и мембранные материалы, материалы для кислородных сенсоров, так называемые магнитные полуметаллы (МПМ, *magnetic half-metals*) — материалы спиновой электроники (спинтранники) и т.д. [1—9].

Одним из основных приемов модификации свойств ферритов стронция является додирование Fe-подрешетки атомами *d*-металлов, в том числе скандием [10], титаном [11], хромом [12], марганцем [13], кобальтом [14], медью [3], рядом атомов 4*d*- и 5*d*-металлов (см., например, [15—18]). При этом концентрация донаторов M в составе синтезируемых твердых растворов $SrFe_{1-x}M_xO_3$ может достигать весьма значительных величин, вплоть до $x \geq 0,5$ [13, 15—18], что в ряде случаев приводит к образованию упорядоченных фаз типа Sr_2FeMO_6 , которые известны как "двойные перовскиты" (*double perovskites*).

Большое внимание уделяется также так называемому мультикатионному додированию, когда достигается одновременное замещение части узлов подрешетки стронция и железа на различные катионы (например, фазы типа $La_{0,3}Sr_{0,7}Fe_{1-x}Ga_xO_{2,65+\delta}$ [19]), или узлы подрешетки железа замещаются двумя типами различных катионов (например, $Sr_2Fe_{1-x}M_xReO_6$, где $M = Cr$ или Zn [20]) и т.д.

Вместе с тем подавляющее большинство полученных к настоящему дню материалов на основе додированного $SrFeO_3$ [1—20] имеют сложный переменный химический состав, кроме того, во многих случаях наблюдаются структурные искажения, а также нестехиометрия по кислородной подрешетке.

Такой значительный набор различных (и переменных) факторов, особенно при мультикатионном додировании феррита, существенно затрудняет анализ природы изменения магнитных и электронных свойств исходной матрицы ($SrFeO_3$), ответственных за физические свойства материалов на ее основе.

Поэтому целью настоящей работы является изучение в **рамках единой модели** закономерностей изменения электронной структуры и магнитных свойств в ряду додированных пере-

* E-mail: ivanovskii@ihim.uran.ru

ходными металлами перовскитоподобных фаз $\text{SrFe}_{1-x}\text{M}_x\text{O}_3$ в зависимости от типа 3d-атома $\text{M} = \text{Sc}, \text{Ti}, \dots, \text{Ni}, \text{Cu}$.

МОДЕЛЬ И МЕТОД РАСЧЕТА

Для изучения электронных и магнитных свойств перовскитоподобных фаз $\text{SrFe}_{1-x}\text{M}_x\text{O}_3$ в зависимости от типа 3d-допантов использована модель двойного перовскита Sr_2FeMO_6 (что соответствует формальной стехиометрии твердых растворов $\text{SrFe}_{0,5}\text{M}_{0,5}\text{O}_3$) с ГЦК-ячейкой (пространственная группа $Fm\bar{3}m$), где атомы-компоненты располагались в позициях: M (0, 0, 0), Fe ($\frac{1}{2}, 0, 0$), Sr ($\frac{1}{4}, \frac{1}{4}, \frac{1}{4}$) и O ($\frac{1}{4}, 0, 0$) (рис. 1). В качестве донорирующих элементов M рассмотрены все металлы 3d-ряда ($\text{Sc}, \text{Ti}, \dots, \text{Ni}, \text{Cu}$). Для выявления зависимости изменения свойств феррита от типа 3d-допантов полагали, что все моделируемые Sr_2FeMO_6 фазы 1) сохраняют упорядоченную кубическую структуру; 2) кислородные вакансии отсутствуют; и 3) реализуется ферромагнитный (ФМ) тип спинового упорядочения.

Расчеты проведены полнопотенциальным методом присоединенных плоских волн (FLAPW код WIEN2k [21]) с обобщенной градиентной аппроксимацией (GGA) обменно-корреляционного потенциала в форме PBE [22]. Радиусы атомных *muffin-tin* (MT) сфер составляли: 2,00 (Sr), 2,00 (Fe), 1,60 (O), 1,70 ($\text{M} = \text{Sc}—\text{Cr}$) и 1,84 ат. ед. ($\text{M} = \text{Mn}—\text{Cu}$). Набор плоских волн K_{\max} определялся как $R_{\text{MT}} \cdot K_{\max} = 7,0$. Интегрирование по зоне Бриллюэна (ЗБ) проведено методом тетраэдров с использованием сетки $10 \times 10 \times 10$ для 47 k -точек в неприводимой части ЗБ Sr_2FeMO_6 . Критерий сходимости (для полной энергии) составлял 0,0001 Ry.

РЕЗУЛЬТАТЫ И ИХ ОБСУЖДЕНИЕ

Зонная структура и магнитные моменты перовскита SrFeO_3 . Полные и парциальные плотности состояний (ПС) кубической фазы SrFeO_3 представлены на рис. 2. В согласии с предшествующими данными (см. обзор в [23]) наши расчеты показали, что для ФМ SrFeO_3 наиболее важен эффект спиновой поляризации для $\text{Fe}3d$ -зон, в результате d_{\uparrow} -зона понижает, а d_{\downarrow} -зона повышает свою энергию. Магнитные моменты (ММ) на атомах железа составляют $2,86 \mu_B$. Расщепление $\text{Fe}3d$ -состояний на пространственные и спиновые компоненты приводит

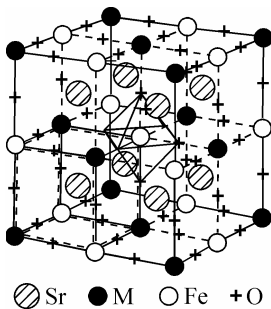


Рис. 1 (слева). Фрагмент кристаллической структуры двойного перовскита Sr_2FeMO_6

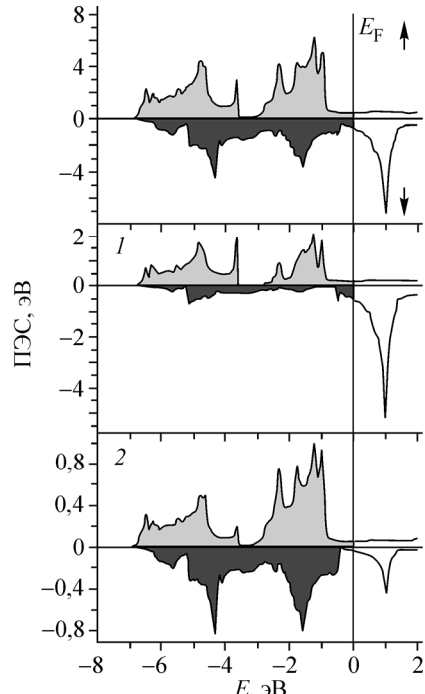


Рис. 2 (справа). Полная (вверху) и парциальные ПС кубического перовскитоподобного феррита стронция SrFeO_3 . Приведены спиновые плотности: 1 — $\text{Fe}3d$ - и 2 — $\text{O}2p$ -состояний (в расчете на один атом)

Таблица 1

Локальные магнитные моменты на атомах (ЛММ, μ_{B}) и полный магнитный момент (μ_{tot} , μ_{B} /ячейка) для кубических перовскитоподобных фаз Sr_2FeMO_6 , где $\text{M} = \text{Sc}, \text{Ti}, \dots, \text{Ni}, \text{Cu}$

Фаза	ЛММ *				Фаза	ЛММ *			
	M	Fe	O	μ_{tot}^{**}		M	Fe	O	μ_{tot}^{**}
$\text{Sr}_2\text{FeScO}_6$	-0,011	2,360	0,077	3,013	$\text{Sr}_2\text{FeMnO}_6$	3,108	2,656	0,107	6,998
$\text{Sr}_2\text{FeTiO}_6$	-0,040	1,661	0,050	2,017	$\text{Sr}_2\text{FeCoO}_6$	2,712	2,369	0,251	7,008
Sr_2FeVO_6	-0,157	2,929	0,068	3,251	$\text{Sr}_2\text{FeNiO}_6$	1,527	2,400	0,237	5,716
$\text{Sr}_2\text{FeCrO}_6$	1,518	3,128	0,064	5,473	$\text{Sr}_2\text{FeCuO}_6$	0,223	2,352	0,189	4,007

* ЛММ стронция для всех фаз пренебрежимо мал ($< 0,012 \mu_{\text{B}}$).

** Полный магнитный момент в пересчете на ячейку.

к их гибридизации с $2p$ -состояниями кислорода в интервале от -7 эВ до E_F (см. рис. 2). В результате на атомах кислорода возникают незначительные индуцированные магнитные моменты ($\text{MM} \sim 0,15 \mu_{\text{B}}$). Спиновые расщепления занятых состояний стронция практически отсутствуют (магнитный момент $\text{Sr} \sim 0,01 \mu_{\text{B}}$). Вклады $\text{Sr}5s,5p$ -состояний в валентную область спектра крайне малы, т.е. стронций находится в катионной форме, близкой к Sr^{2+} . В результате химическая связь в SrFeO_3 имеет комбинированный ковалентно-ионный тип, где связи $\text{Sr}—\text{O}$ — ионные, а связи $\text{Fe}—\text{O}$ имеют как ковалентную (за счет гибридизации $\text{Fe}3d—\text{O}2p$ -орбиталей), так и ионную составляющие (за счет частичного переноса заряда в направлении $\text{Fe}\rightarrow\text{O}$).

Магнитные характеристики двойных перовскитов Sr_2FeMO_6 ($\text{M} = \text{Sc}, \text{Ti}, \dots, \text{Ni}, \text{Cu}$).

Результаты расчета полных (μ_{tot} , в расчете на элементарную ячейку) и локальных магнитных моментов (ЛММ) атомов компонентов в ряду двойных перовскитов Sr_2FeMO_6 ($\text{M} = \text{Sc}, \text{Ti}, \dots, \text{Ni}, \text{Cu}$) представлены в табл. 1. Видно, что полный магнитный момент Sr_2FeMO_6 в зависимости от типа $3d$ -металла M меняется немонотонно, достигая максимальной величины $\mu_{\text{tot}} \sim 7,0 \mu_{\text{B}}$ для $\text{Sr}_2\text{FeMnO}_6$ и $\text{Sr}_2\text{FeCoO}_6$. Для двойных перовскитов с участием металлов начала и конца $3d$ -ряда μ_{tot} оказывается существенно ниже, составляя около $2,0 \mu_{\text{B}}$ ($\text{Sr}_2\text{FeTiO}_6$), $3,0 \mu_{\text{B}}$ ($\text{Sr}_2\text{FeScO}_6$) и $4,0 \mu_{\text{B}}$ ($\text{Sr}_2\text{FeCuO}_6$).

Происхождение указанной зависимости μ_{tot} в ряду Sr_2FeMO_6 можно понять с учетом изменений ЛММ составляющих эти перовскиты атомов-компонентов. Из данных табл. 1 видно, что ЛММ стронция во всех фазах Sr_2FeMO_6 пренебрежимо малы, тогда как индуцированные ЛММ атомов кислорода меняются немонотонно, достигая максимальных значений для фаз с участием $3d$ -металлов конца ряда. Однако их значения сравнительно невелики (не превосходят $0,23—0,25 \mu_{\text{B}}$) и мало влияют на общие изменения магнитных свойств в ряду перовскитов Sr_2FeMO_6 , определяемых, прежде всего, величинами ЛММ подрешеток, составленных атомами M и железа. Среди последних ЛММ атомов железа варьируются в интервале от $1,66$ ($\text{Sr}_2\text{FeTiO}_6$) до $3,12 \mu_{\text{B}}$ ($\text{Sr}_2\text{FeCrO}_6$), тогда как ЛММ атомов $3d$ -металлов меняются от $0,01$ до $3,11 \mu_{\text{B}}$. Так, для фаз Sr_2FeMO_6 , где M — $3d$ -металлы начала ряда (Sc, Ti и V) или Cu , ЛММ этих M атомов малы и составляют $0,01, 0,04, 0,16$ и $0,22 \mu_{\text{B}}$ соответственно, причем для первых трех $3d$ -металлов ЛММ ориентированы антипараллельно ЛММ атомов железа. Таким образом, общие магнитные свойства этих четырех перовскитов определяются магнетизмом подрешетки железа.

Для остальных фаз Sr_2FeMO_6 , где $\text{M} = \text{Cr}, \text{Mn}, \text{Co}$ и Ni , ЛММ этих атомов ($1,5—3,1 \mu_{\text{B}}$) близки ЛММ атомов железа ($2,4—3,1 \mu_{\text{B}}$), и обе магнитные подрешетки (M и Fe) вносят сравнимые вклады в формирование общего μ_{tot} фаз Sr_2FeMO_6 . При этом, если для $\text{Sr}_2\text{FeCrO}_6$ и $\text{Sr}_2\text{FeNiO}_6$ ЛММ (M) меньше, чем ЛММ (Fe), то для $\text{Sr}_2\text{FeMnO}_6$ и $\text{Sr}_2\text{FeCoO}_6$ ЛММ M -подрешеток оказываются больше, чем ЛММ подрешетки железа. Проанализировать указанные закономерности изменения магнитных характеристик в ряду двойных перовскитов Sr_2FeMO_6 позволяют распределения их спиновых состояний, обсуждаемые далее.

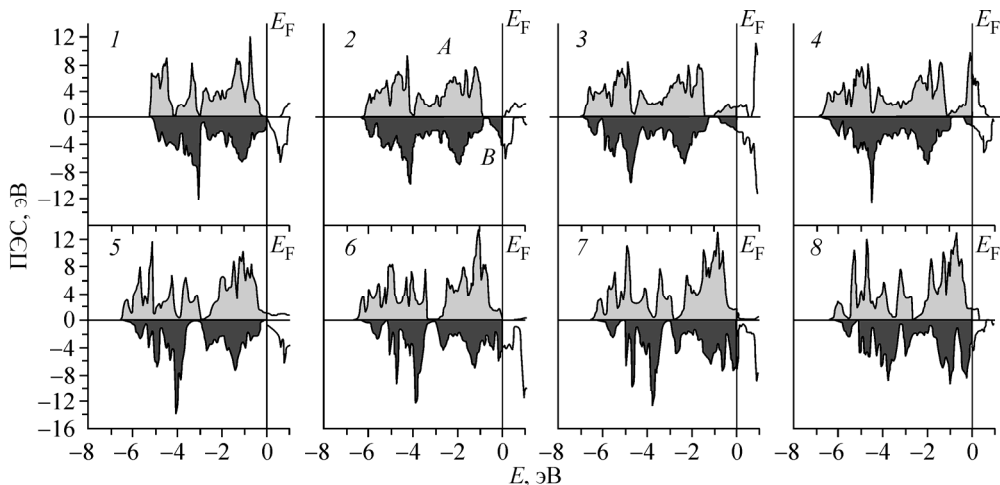


Рис. 3. Полные плотности спиновых состояний кубических перовскитоподобных фаз Sr_2FeMO_6 , где М: 1 — Sc, 2 — Ti, 3 — V, 4 — Cr, 5 — Mn, 6 — Co, 7 — Ni, 8 — Cu

Электронная структура двойных перовскитов Sr_2FeMO_6 (М = Sc, Ti, ..., Ni, Cu). Результаты расчетов спиновых ПС перовскитов Sr_2FeMO_6 приведены на рис. 3, величины ПС на уровне Ферми ($N(E_F)$) — в табл. 2. При их обсуждении учтем, что весь ряд рассмотренных нами двойных перовскитов можно разделить (по отношению к исходной фазе SrFeO_3) на две группы: 1) допированные дырками (Sr_2FeMO_6 , где М = Sc, Ti, ..., Mn) или 2) допированные электронами (Sr_2FeMO_6 , где М = Co, Ni и Cu). Тогда, рассматривая весь ряд перовскитов Sr_2FeMO_6 в рамках модели "жесткой зоны", можно утверждать, что для первой группы фаз за счет "дефицита" электронов (по отношению к концентрации валентных электронов (КВЭ) на ячейку исходного перовскита SrFeO_3) будет происходить "опустошение" валентной полосы, тогда как для второй группы фаз, где КВЭ больше, чем для SrFeO_3 , — дополнительное заполнение этой полосы. В рамках данной модели, исходя из вида электронного спектра SrFeO_3 (см. рис. 1), следует ожидать, что все двойные перовскиты будут обладать металлоподобным типом спектра.

Численные расчеты FLAPW-GGA Sr_2FeMO_6 обнаруживают более сложную картину (см. рис. 3). Как видно, в спектре $\text{Sr}_2\text{FeScO}_6$ между полностью занятymi и свободными состояниями со спином "вверх" формируется значительная запрещенная щель (ЗЩ) $\sim 1,0$ эВ, тогда как для состояний со спином "вниз" их плотность на уровне Ферми близка к нулю. Таким образом, $\text{Sr}_2\text{FeScO}_6$ является бесщелевым магнитным полупроводником. Принципиально иную электронную структуру имеет $\text{Sr}_2\text{FeTiO}_6$, для которого полоса состояний со спином "вверх" (полоса A, см. рис. 3) полностью заполнена и имеет ЗЩ, тогда как для полосы со спином "вниз" с ростом КВЭ начинает заполняться ее верхний свободный (для $\text{Sr}_2\text{FeScO}_6$) край (подполоса B, см. рис. 3). В результате спектр $\text{Sr}_2\text{FeTiO}_6$ имеет металлический тип для одной спиновой подсистемы (плотность носителей на уровне Ферми $N_{\downarrow}(E_F) > 0$), но содержит запрещенную щель

Таблица 2

Полные плотности спиновых состояний на уровне Ферми ($N_{\uparrow,\downarrow}(E_F)$, в сост./(эВ·ячейка)) для кубических перовскитоподобных фаз Sr_2FeMO_6 , где М = Sc, Ti, ..., Ni, Cu

Фаза	$N_{\uparrow}(E_F)$	$N_{\downarrow}(E_F)$	Тип системы	Фаза	$N_{\uparrow}(E_F)$	$N_{\downarrow}(E_F)$	Тип системы
$\text{Sr}_2\text{FeScO}_6$	0	0,044	Магнитный полупроводник	$\text{Sr}_2\text{FeMnO}_6$	1,024	0,137	Магнитный металл
$\text{Sr}_2\text{FeTiO}_6$	0	4,325	Магнитный полуметалл	$\text{Sr}_2\text{FeCoO}_6$	0,047	4,536	То же
Sr_2FeVO_6	1,480	1,836	Магнитный металл	$\text{Sr}_2\text{FeNiO}_6$	1,630	7,553	"
$\text{Sr}_2\text{FeCrO}_6$	10,621	1,203	То же	$\text{Sr}_2\text{FeCuO}_6$	1,518	3,653	"

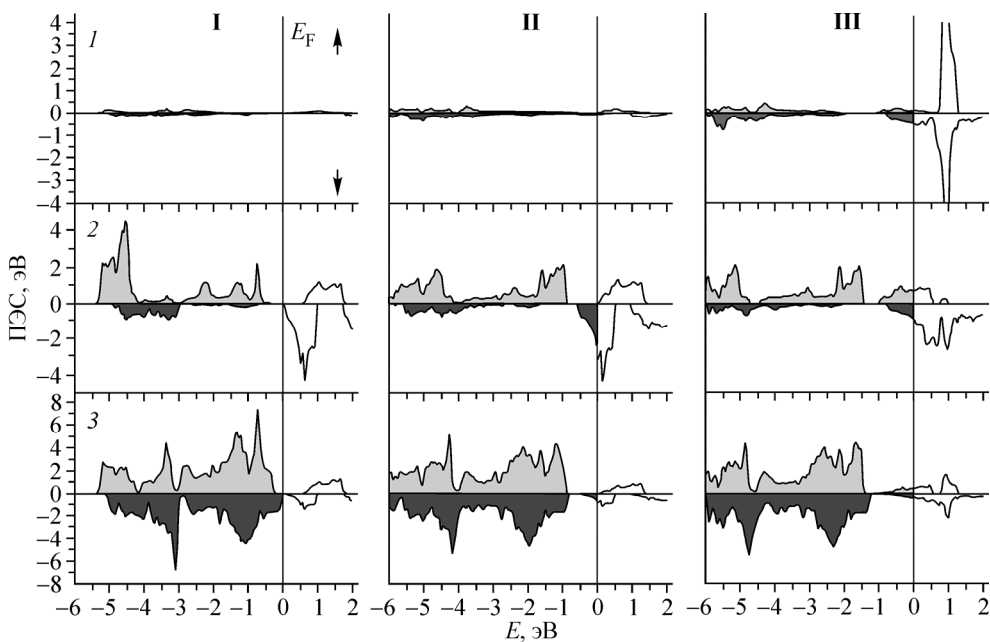


Рис. 4. Парциальные плотности спиновых состояний кубических перовскитоподобных фаз: I — $\text{Sr}_2\text{ScFeO}_6$; II — $\text{Sr}_2\text{TiFeO}_6$; III — Sr_2VFeO_6 . Приведены спиновые плотности: 1 — $(\text{Sc}, \text{Ti}, \text{V})3d$, 2 — $\text{Fe}3d$ и 3 — кислорода

для противоположной проекции спина ($N_{\uparrow}(E_F) = 0$). Такие материалы со 100%-й спиновой поляризацией прифермиевских электронов известны как магнитные полуметаллы (обзор [9]). Все остальные перовскиты Sr_2FeMO_6 имеют ненулевую плотность носителей на уровне Ферми для обеих спиновых подсистем ($N_{\uparrow,\downarrow}(E_F) > 0$, см. табл. 2), т.е. являются магнитными металлами.

Более детально формирование отмеченных трех типов магнетиков — магнитного полупроводника, полуметалла и металла — можно проследить на рис. 4, где приведены парциальные ПС двойных перовскитов с участием 3d-металлов начала ряда: $\text{Sr}_2\text{FeScO}_6$, $\text{Sr}_2\text{FeTiO}_6$ и Sr_2FeVO_6 . Видно, что для $\text{Sr}_2\text{FeScO}_6$ вклад Sc 3d-состояний в область заполненной зоны мал, а валентная полоса формируется в основном за счет $\text{Fe}3d_{\uparrow,\downarrow}$ - и $\text{O}2p$ -состояний. Примечательно, что верхний край валентной зоны этой фазы составлен исключительно $\text{O}2p_{\downarrow}$, а нижний край зоны проводимости — смешанными $\text{Fe}3d_{\downarrow}$ — $\text{O}2p_{\downarrow}$ -состояниями.

При переходе к $\text{Sr}_2\text{FeTiO}_6$ примесь $\text{Ti}3d$ -состояний к валентной полосе остается незначительной, а рост КВЭ приводит к отмеченному ранее заполнению нижней части $\text{Fe}3d_{\downarrow}$ — $\text{O}2p_{\downarrow}$ -полосы. Спектр электронных состояний этой фазы приобретает полуметаллический тип: $N_{\downarrow}(E_F) > 0$ и $N_{\uparrow}(E_F) = 0$.

Начиная со Sr_2FeVO_6 дальнейшая эволюция спектра двойных перовскитов определяется двумя основными факторами: ростом КВЭ, т.е. прогрессирующим заполнением валентной полосы, и существенными вкладами в валентную полосу $\text{M}3d_{\uparrow,\downarrow}$ -состояний. Из рис. 3 и 4 видно, что для Sr_2FeVO_6 пик плотности $\text{V}3d_{\uparrow,\downarrow}$ -состояний расположен на ~1 эВ выше E_F , тогда как для $\text{Sr}_2\text{FeCrO}_6$ пик плотности состояний хрома находится непосредственно в области E_F , внося максимальный вклад в $N_{\uparrow}(E_F)$ (см. табл. 2). По мере роста порядкового номера 3d-элементов их орбитальные энергии понижаются, т.е. плотность $\text{M}3d_{\uparrow,\downarrow}$ -состояний сдвигается вглубь валентной зоны. При этом с увеличением КВЭ происходит последовательное заполнение сначала зоны $\text{M}3d_{\uparrow}$, затем $\text{M}3d_{\downarrow}$ -состояний (см. рис. 3), что и определяет отмеченную ранее закономерность в изменении ЛММ в ряду фаз $\text{Sr}_2\text{FeCrO}_6$.

ЗАКЛЮЧЕНИЕ

В настоящей работе с использованием *ab initio* зонного метода FLAPW-GGA проведен анализ закономерности изменения электронных и магнитных свойств кубических перовскито-подобных фаз Sr_2FeMO_6 , где $\text{M} = \text{Sc}, \text{Ti}, \dots, \text{Ni}, \text{Cu}$.

Найдено, что в зависимости от типа 3d-атомов фазы Sr_2FeMO_6 :

1) могут проявлять свойства трех типов магнетиков — магнитного полупроводника, полу-металла и металла;

2) магнитные свойства фаз Sr_2FeMO_6 , где $\text{M} = 3d$ -металлы начала ряда (Sc, Ti и V) или Cu , определяются магнетизмом подрешетки железа;

3) магнитные свойства фаз Sr_2FeMO_6 , где $\text{M} = \text{Cr}, \text{Mn}, \text{Co}$ и Ni , определяются сравнимыми вкладами магнитных подрешеток атомов M и железа, причем локальные магнитные моменты атомов M могут быть как больше ($\text{Sr}_2\text{FeMnO}_6$ и $\text{Sr}_2\text{FeCoO}_6$), так и меньше ($\text{Sr}_2\text{FeCrO}_6$ и $\text{Sr}_2\text{FeNiO}_6$) магнитных моментов атомов железа;

4) закономерности формирования электронного спектра и магнитных характеристик фаз Sr_2FeMO_6 зависят от двух факторов: концентрации валентных электронов (на ячейку перовскита) и порядкового номера (орбитальной энергии 3d-состояний) атомов M . Первый фактор регулирует общую степень заполнения валентной полосы Sr_2FeMO_6 , второй определяет степень примешивания $\text{M}3d_{\uparrow,\downarrow}$ -состояний к валентной полосе феррита стронция.

Следующий этап нашей работы предусматривает выявление зависимости изменения свойств допированных ферритов от концентрации 3d-допантов и наличия кислородных вакансий, т.е. факторов, которые могут оказывать существенное влияние на функциональные характеристики реально синтезируемых материалов.

Работа поддержана программой РАН "Водородная энергетика".

СПИСОК ЛИТЕРАТУРЫ

1. Patrakeev M.V., Leonidov I.A., Kozhevnikov V.L., Kharton V. // Solid State Sciences. – 2004. – **6**, N 9. – P. 907 – 913.
2. Oleynikov N.N., Ketsko V.A. // Russ. J. Inorg. Chem. – 2004. – **49**, Suppl. 1. – P. S1 – S21.
3. Zhang X., Dong X.F., Lin W.M. // J. Inorg. Mater. – 2007. – **22**, N 1. – P. 97 – 100.
4. Rothschild A., Litzelman S.J., Tuller H.L. et al. // Sensors Actuators. – 2005. – **108**, N 1-2. – P. 223 – 230.
5. Carvajal E., Navarro O., Allub R. et al. // Europ. Phys. J. – 2005. – **B48**, N 2. – P. 179 – 187.
6. Шеин И.Р., Ко же вников В.Л., Ивановский А.Л. // Письма в ЖЭТФ. – 2005. – **82**, № 4. – С. 239 – 242.
7. Шеин И.Р., Ко же вников В.Л., Ивановский А.Л. // Физ. тех. полупровод. – 2006. – **40**, № 11. – С. 1295 – 1299.
8. Fisher B., Genossar J., Chashka K.B. et al. // Curr. Appl. Phys. – 2007. – **7**, N 2. – P. 151 – 155.
9. Ивановский А.Л. // Успехи физ. наук. – 2007. – **177**, № 10. – С. 1083 – 1105.
10. Markov A.A., Patrakeev M.V., Kharton V.V. et al. // Chem. Mater. – 2007. – **19**, N 16. – P. 3980 – 3987.
11. Tsipis E.V., Patrakeev M.V., Kharton V. et al. // Solid State Sci. – 2005. – **7**, N 4. – P. 355 – 365.
12. Ming Q., Hung J., Yang Y.L. et al. // Combustion Sci. Technol. – 1998. – **138**, N 1-6. – P. 279 – 296.
13. Lee H.J., Kim G., Kang J.S. et al. // J. Appl. Phys. – 2007. – **101**, N 9. – art. 09G523.
14. Munoz A., Alonso J.A., Martinez-Lope M. J. et al. // J. Solid State Chem. – 2006. – **179**, N 11. – P. 3365 – 3370.
15. Zhong W., Liu W., Wu X.L. et al. // Solid State Comm. – 2004. – **132**, N 3-4. – P. 157 – 162.
16. Herrero-Martin J., Garcia J., Subias G. et al. // J. Phys.: Cond. Matter. – 2004. – **16**, N 39. – P. 6877 – 6890.
17. Sher F., Venimadhav A., Blamire M.G. et al. // Chem. Mater. – 2005. – **17**, N 1. – P. 176 – 180.
18. Chan T.S., Liu R.S., Guo G.Y. et al. // Solid State Comm. – 2005. – **133**, N 4. – P. 265 – 270.
19. Patrakeev M.V., Mitberg E.B., Lakhtin A.A. et al. // J. Solid State Chem. – 2002. – **167**, N 1. – P. 203 – 213.
20. Jung A., Bonn I., Ksenofontov V. et al. // J. Mater. Chem. – 2005. – **15**, N 17. – P. 1760 – 1768.
21. Blaha P., Schwarz K., Madsen G.K.H. et al. In: WIEN2K, An Augmented Plane Wave Plus Local Orbitals Program for Calculating Crystal Properties / Ed. K. Schwarz. – Techn. Universität Wien: Austria, 2001.
22. Perdew J.P., Burke S., Ernzerhof M. // Phys. Rev. Lett. – 1996. – **77**, N 18. – P. 3865 – 3868.
23. Шеин И.Р., Шеин К.И., Ко же вников В.Л., Ивановский А.Л. // Физика твердого тела. – 2005. – **47**, № 11. – С. 1998 – 2003.